

Федеральное государственное бюджетное учреждение науки  
Институт ядерных исследований Российской академии наук (ИЯИ РАН)

**Квазиупругое взаимодействие мюонных нейтрино заряженным  
током в экспериментах MiniBooNE и NOvA**

Лучук Станислав Владимирович

Диссертация на соискание ученой степени  
кандидата физико-математических наук

Научный руководитель:  
д-р физ.-мат. наук  
Анатолий Викторович Буткевич

21 сентября 2023 г.

- ▶ В осцилляционных экспериментах с ускорительными нейтрино энергии нейтрино в пучке варьируются в диапазоне от 0.6 до 5 ГэВ.
- ▶ При энергиях 0.6 - 5 ГэВ основной вклад в сечение рассеяния нейтрино на ядрах дают взаимодействия заряженным током (ЗТ): квазиупругие (КУ) с учетом вклада токов обменных мезонов (ОМ), процессы с рождением резонансов (РЕЗ) и глубоко неупругие процессы.
- ▶ Систематическая неопределенность в сечениях нейтрино является ключевой проблемой современных нейтринных экспериментов.
- ▶ Сечения рассеяния нейтрино измерялись на разных мишениях в диапазоне энергий от 0.2 до 300 ГэВ. Ошибки измерения достигают 40%.
- ▶ Квазиупруго-подобные взаимодействия (КУ-подобные): КУ + ОМ.

## Цель работы

Изучение **KУ-подобных** взаимодействий нейтрино заряженным током при энергиях нейтринного эксперимента **NOvA** с ядрами углерода и хлора. Исследование проводится в рамках объединенной модели искаженных волн в импульсном приближении с учетом вкладов 2-х частичных токов обменных мезонов (**RDWIA+МЕС** модель).

- 1) Тестирование **RDWIA+МЕС** модели на данных по рассеянию  $^{12}\text{C}(e, e')$  в различных кинематических областях.
- 2) Вычисление интегрированных по спектру нейтрино **KУ-подобных** дифференциальных сечений рассеяния нейтрино на ядрах углерода и сравнение их с данными эксперимента **MiniBooNE**, чтобы определить:
  - а) зависимость **аксиального форм-фактора** нуклона от  $Q^2$
  - б) значение **аксиальной массы** нуклона, в случае дипольной параметризации аксиального форм-фактора.
- 3) Расчет интегрированных по спектру нейтрино дифференциальных сечений **KУ-подобных** процессов при энергиях эксперимента **NOvA**.

## Положения, выносимые на защиту

- 1) Объединенная модель RDWIA+МЕС искаженных волн в импульсном приближении с учетом вкладов 2-х частичных токов обменных мезонов.
- 2) Модель RDWIA+МЕС в пределах экспериментальных ошибок хорошо описывает продольную и поперечную электромагнитные функции отклика и инклюзивные сечения рассеяния электронов на ядрах углерода.
- 3) Нейтринные сечения КУ-подобных событий, измеренные в эксперименте MiniBooNE, хорошо описываются в рамках RDWIA+МЕС подхода. Определена зависимость аксиального форм-фактора от  $Q^2$  и значение аксиальной массы нуклона  $M_A = 1.2$  ГэВ из анализа данных эксперимента MiniBooNE.
- 4) Вычислены интегрированные по спектру нейтрино в эксперименте NOvA сечения КУ-подобных событий со значением  $M_A = 1.2$  ГэВ. Вклад двух-частичных токов, обусловленных рассеянием на обменных мезонах, в эксперименте NOvA оценивается как 30-35%.

# Квазиупругое рассеяние электронов и нейтрино на ядрах и ОМ

**КУ:**  $I(k_i) + A(p_A) \rightarrow I'(k_f) + N(p_x) + B(p_B)$

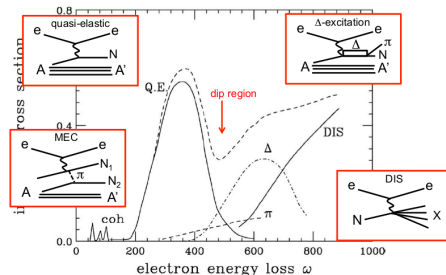
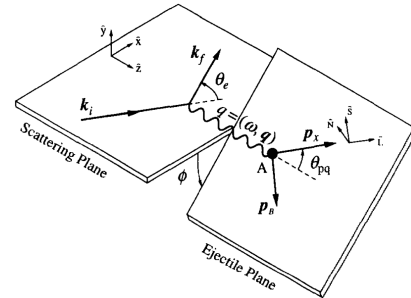
**ОМ:**  $I(k_i) + A(p_A) \rightarrow I'(k_f) + N_1(p_{x_1}) + N_2(p_{x_2}) + B(p_B)$

$I(k_i)$  и  $I'(k_f)$  - налетающий и рассеянный лептоны

$A(p_A)$  и  $B(p_B)$  - ядро мишени и остаточное ядро

$N(p_x)$ ,  $N_1(p_{x_1})$ ,  $N_2(p_{x_2})$  - выбитые нуклоны

**Инклюзивное** сечение - регистрируется только рассеянный лептон, а по конечным адронным состояниям проводится суммирование



# Квазиупругое рассеяние электронов на ядрах

## Инклюзивное сечение рассеяния электрона

$$\frac{d^3\sigma^{el}}{d\varepsilon_f d\Omega_f} = \frac{\varepsilon_f}{\varepsilon_i} \frac{\alpha^2}{Q^4} L_{\mu\nu}^{(el)} W^{\mu\nu(el)} = 4\varepsilon_i \varepsilon_f \cos^2 \frac{\theta}{2} \left( V_L R_L^{(el)} + V_T R_T^{(el)} \right)$$

Лептонный тензор  $L_{\mu\nu}^{(el)}$

$$L^{\mu\nu} = L_S^{\mu\nu} + L_A^{\mu\nu}$$

$$L_S^{\mu\nu} = 2(k_i^\mu k_f^\nu + k_i^\nu k_f^\mu - g^{\mu\nu} k_i k_f)$$

$$L_A^{\mu\nu} = h2i\epsilon^{\mu\nu\alpha\beta}(k_i)_\alpha(k_f)_\beta$$

Адронный тензор  $W^{\mu\nu(el)}$  построен на независимых векторах  $q$  и  $p_A$ , скалярах  $q^2$ ,  $p_A^2$ ,  $q \cdot p_A$  и метрическом тензоре  $g_{\mu\nu}$   
 $W_{\mu\nu}^{(el)} = \sum_f \langle X | J_\mu^{(el)} | A \rangle \langle A | J_\nu^{(el)\dagger} | X \rangle \delta(\varepsilon_A + \omega - \varepsilon_X)$   
 $W^{\mu\nu} = W_{1p1h}^{\mu\nu} + W_{2p2h}^{\mu\nu} + \dots$

Продольная  $R_L^{(el)}$  и поперечная  $R_T^{(el)}$  ядерные функции отклика,  $V_L$  и  $V_T$  - кинематические коэффициенты

Для инклюзивных процессов:

$$R_L^{(el)} = W^{00(el)}$$

$$R_T^{(el)} = W^{xx(el)} + W^{yy(el)}$$

$$V_L = Q^4 / \mathbf{q}^4$$

$$V_T = Q^2 / 2\mathbf{q}^2 + \tan^2 \frac{\theta}{2}$$

## Квазиупругое рассеяние нейтрино на ядрах

Слабое взаимодействие нейтрино осуществляется посредством обмена промежуточными  $W$  и  $Z$  бозонами. Слабый лептонный и адронный токи имеют **V-A структуру**.

Инклюзивное сечение рассеяния нейтрино заряженным током (cc - заряженный ток)

$$\frac{d^3\sigma^{(cc)}}{d\varepsilon_f d\Omega_f} = \frac{1}{(2\pi)^2} \frac{|\mathbf{k}_f|}{\varepsilon_i} \frac{\tilde{G}^2}{2} L_{\mu\nu} W^{\mu\nu(cc)}$$

$$L_{\mu\nu} W^{\mu\nu(cc)} = 2\varepsilon_i \varepsilon_f (v_0 R_0^{(cc)} + v_T R_T^{(cc)} + v_{zz} R_{zz}^{(cc)} - v_{0z} R_{0z}^{(cc)} - h v_{xy} R_{xy}^{(cc)})$$

Ядерные функции отклика выражаются через компоненты адронного тока:

$$R_0^{(cc)} = W_S^{00(cc)}, \quad R_T^{(cc)} = W_S^{xx(cc)} + W_S^{yy(cc)}, \quad R_{0z}^{(cc)} = W_S^{0z(cc)} + W_S^{z0(cc)},$$
$$R_{zz}^{(cc)} = W_S^{zz(cc)}, \quad R_{xy}^{(cc)} = i (W_A^{xy(cc)} - W_A^{yx(cc)})$$

Матричный элемент адронного тока:

$$\langle p, B | J^\mu | A \rangle = \int d^3r \exp(i\mathbf{t} \cdot \mathbf{r}) \bar{\Psi}(\mathbf{p}, \mathbf{r}) \Gamma^\mu \Phi(\mathbf{r})$$

$\Phi$  и  $\Psi$  - релятивистские волновые функции связанного и выбитого нуклона

В модели RDWIA проводится расчет квазиупругих сечений (KY) с учетом взаимодействий в конечном состоянии (FSI).

- ▶ Приближение среднего поля - нуклоны движутся в самосогласованном поле, создаваемом другими нуклонами.
- ▶ Оболочечная модель ядра - спектр энергетических уровней нуклонов разбивается на группы близко расположенных уровней - потенциал поля статический.
- ▶ Импульсное приближение - рассеяние лептона на одном связанном нуклоне, который находится вне массовой поверхности (при переданных импульсах  $|\vec{q}| > 200 \text{ МэВ/с}$ ).

Для нахождения релятивистских волновых функций связанного нуклона в ядре решается система уравнений

J. Walecka (1974)

- уравнения Дирака для нуклонов и уравнения Клейна-Гордона для мезонов

Уравнения решаются численно и их решение - волновые функции нуклонов, находящихся на ядерных оболочках

C. J. Horowitz et al. (1991)

Учитывается рассеяние на коррелированных парах нуклонов. Из JLab и NIKHEP: 20% нуклонов в NN-парах с относительными импульсами вплоть до 400-500 МэВ/с.

В RDWIA модели учитывается **взаимодействие** выбитого нуклона с остаточным ядром в **конечном состоянии**. Волновая функция выбитого нуклона  $\psi(\mathbf{r})$  находится из уравнения Дирака с оптическим скалярным  $S$  и векторным  $V$  потенциалами. E. D. Cooper (1991)

$$[\alpha \cdot \mathbf{p} + \beta(m + S)]\psi = (E - V)\psi$$

Оптические потенциалы определены из эксп. данных по сечениям рассеяния нуклонов.

Ядерный ток представляется в виде суммы одночастичных токов  $J_A^\mu = \sum_i J_i^\mu$ .

При КУ рассеянии электрона на нуклоне матричный элемент электромагнитного тока адронов:

$$\langle p' | J_\alpha | p \rangle = N_{p'} N_p \bar{u}(p') \Gamma_\alpha(p', p) u(p)$$

$u(p)$  и  $u(p')$  - начальный и конечный спиноры нуклонов,  $\Gamma_\alpha$  - вершинная функция.

$$\Gamma_2^\mu = \gamma^\mu F_V(Q^2) + i\sigma^{\mu\nu} \frac{q_\nu}{2m} F_M(Q^2)$$

Используется **приближение де Фореста** для нуклонов вне массовой поверхности:

- форм-факторы и спиноры свободного нуклона
- замена энергии связанного нуклона на энергию свободного нуклона

При квазиупругом рассеянии нейтрино **слабый адронный ток** имеет **V-A** структуру, т. е. состоит из **векторной**  $V_\alpha$  и **аксиальной**  $A_\alpha$  частей.

$$J_\alpha = \cos \theta_C (V_\alpha + A_\alpha)$$

Однонуклонный матричный элемент оператора  $V_\alpha$

$$\langle p' | V_\alpha | p \rangle = N_{p'} N_p \bar{u}(p') [\gamma_\alpha F_V(Q^2) - (1/2M) \sigma_{\alpha\beta} q_\beta F_M(Q^2)] u(p)$$

Матричный элемент оператора аксиального тока  $A_\alpha$

$$\langle p' | A_\alpha | p \rangle = N_{p'} N_p \bar{u}(p') [\gamma_\alpha \gamma_5 F_A(Q^2) + i q_\alpha \gamma_5 F_P(Q^2)] u(p)$$

Вещественные функции  $F_V(Q^2)$ ,  $F_M(Q^2)$ ,  $F_A(Q^2)$ ,  $F_P(Q^2)$  - векторный, магнитный, аксиальный и псевдоскалярный слабые форм-факторы нуклона.

Аксиальный форм-фактор рассматривают в дипольном приближении, аксиальная масса  $M_A$  - свободный параметр;  $r_A$  - аксиальный радиус нуклона

$$F_A(Q^2) = \frac{g_A}{(1 + \frac{Q^2}{M_A^2})^2} \quad \langle r_A^2 \rangle = \frac{12}{M_A^2}$$

# Рассеяние на обменных мезонах

Расчеты  $W_{2p2h}$  - трудоемкие, сводятся к решению 7D интегралов. I.Ruiz Simo et al., Phys. Rev. D. D90,033012 (2014)

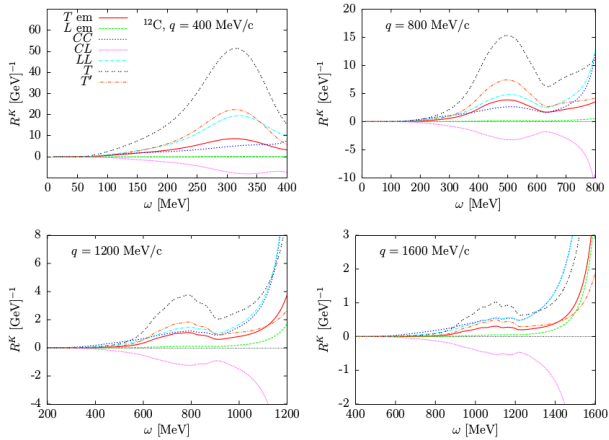
Рассеяние электронов:

$$\frac{d^3\sigma^{el}}{d\varepsilon_f d\Omega_f} = 4\varepsilon_i \varepsilon_f \cos^2 \frac{\theta}{2} \left( V_L R_L^{(el)} + V_T R_T^{(el)} \right)$$

Рассеяние нейтрино:

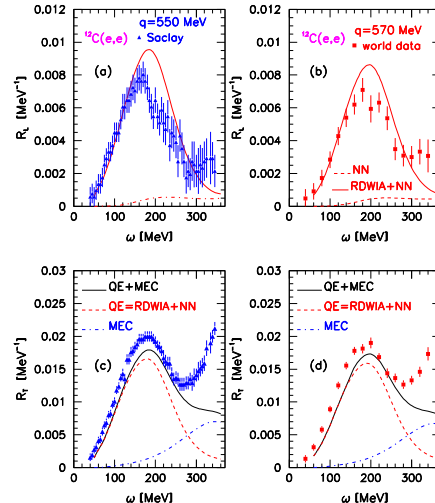
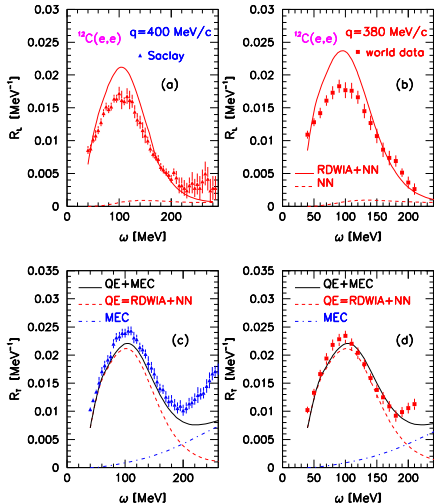
$$\begin{aligned} \frac{d^3\sigma^{(cc)}}{d\varepsilon_f d\Omega_f} &= 2\varepsilon_i \varepsilon_f (v_0 R_0^{(cc)} + v_T R_T^{(cc)} + \\ &v_{zz} R_{zz}^{(cc)} - v_{0z} R_{0z}^{(cc)} - h v_{xy} R_{xy}^{(cc)}) \end{aligned}$$

Рисунок взят из I.Ruiz Simo et al., J.Phys. G44,065105 (2017).



# Продольная $R_L$ и поперечная $R_T$ функции отклика.

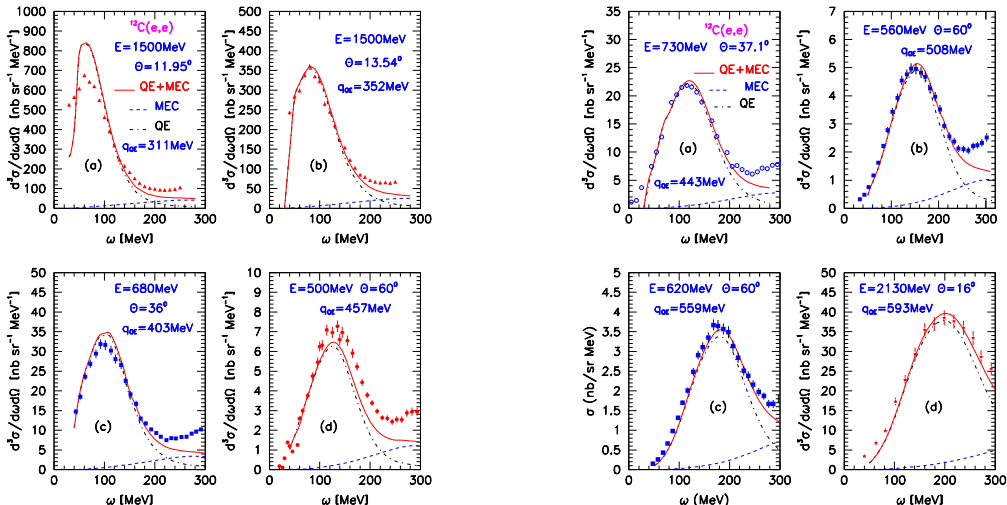
A. V. Butkevich, S. V. Luchuk. -Phys. Rev. C. -2018. -97. -p.045502.



Эксп. данные из: Nucl.Phys. A402,515 (1983)(Saclay); Nucl.Phys. A603,117 (1993)(world data)

# Двойные дифференциальные сечения.

A. V. Butkevich, S. V. Luchuk. -Phys. Rev. C. -2018. -97. -p.045502.



Эксп. данные из: O.Benhar et al. Rev.Mod.Phys.,80,189 (2008)

# Эффекты большой аксиальной массы $M_A$ и двух-частичных токов $2p - 2h$ МЕС в рассеянии нейтрино

В эксперименте **MiniBooNE** измерялись двойные-дифференциальные сечения по энергии и углу вылета мюона и дифференциальные сечения рассеяния по  $Q^2$ .

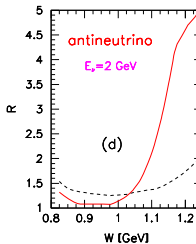
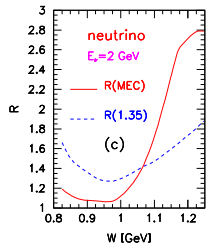
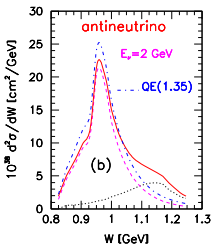
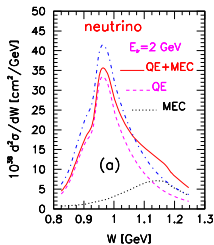
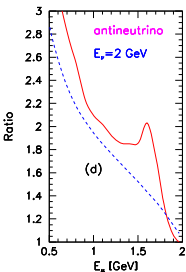
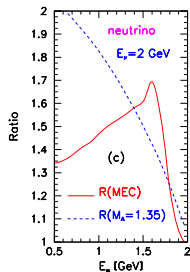
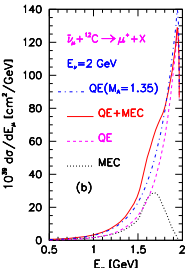
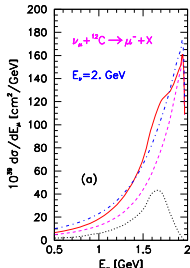
Полученные сечения рассеяния нейтрино могут быть описаны без учета вкладов двухчастичных токов ( $M_A = 1.35$  ГэВ) [A. Butkevich et al. Phys. Rev. C. 85, 2012, 065501](#).

Различные модели позволяют описать [данные MiniBooNE](#) с учетом вкладов двух-частичных токов.

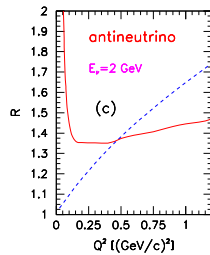
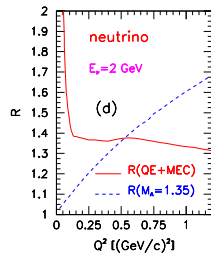
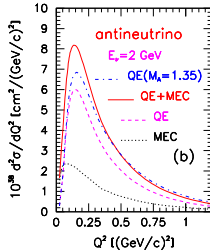
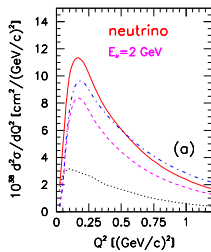
[M. Martini et al. Phys. Rev. C. 84, 2011, 055502;](#)  
[J. Nieves et al. Phys. Lett. B. 707, 2012, 72-75.](#)

В данной работе вычислены  $\nu$  и  $\bar{\nu}$  сечения  $(d\sigma/dx)_{QE+MEC}$  в модели **RDWIA+МЕС** с  $M_A = 1.03$  ГэВ и сечения  $(d\sigma/dx)_{M_A, QE}$  в модели **RDWIA** с  $M_A = 1.35$  ГэВ, как функции  $x = E_\mu$ ,  $Q^2$ ,  $W$  при энергиях налетающего нейтрино  $\varepsilon_\nu = 2$  ГэВ.

Сечения рассеяния и отношения:  $R(MEC) = (QE + MEC)/QE$ ,  $R(M_A = 1.35) = (M_A, QE)/(QE)$



Сечения рассеяния и отношения:  $R(QE + MEC) = (QE + MEC)/QE$ ,  $R(M_A = 1.35) = (M_A, QE)/(QE)$



Два подхода оказывает практически одинаковый эффект на дифференциальные сечения по  $E_\mu$  в области **KУ** пика.

Эти подхода дают разный результат при рассмотрении дифференциальных сечений по переменной **W**.

В интервале  $0.2 < Q^2 < 1 \text{ (ГэВ}/c)^2$  наклоны  $Q^2$ -распределений слегка отличаются в этих двух подходах.

A. V. Butkevich, S. V. Luchuk. -Phys. Rev. D. -2019. -99. -p.093001.

## Определение аксиального форм-фактора $F_A(Q^2)$ из распределения $d\sigma/dQ^2$

Слабый ток:  $J = J_V + F_A J'_A$

Адронный тензор:

$$W_{\mu\nu} = W_{\mu\nu}^V + F_A^2(Q^2) W_{\mu\nu}^A + h F_A(Q^2) W_{\mu\nu}^{VA}$$

Сечение КУ и взаимодействий на обменных мезонах, интегрированное по потоку:

$$\left\langle \frac{d\sigma}{dQ^2}(Q^2) \right\rangle = \left\langle \frac{d\sigma^{QE}}{dQ^2}(Q^2) \right\rangle + \left\langle \frac{d\sigma^{MEC}}{dQ^2}(Q^2) \right\rangle$$

A. V. Butkevich, S. V. Luchuk. -Phys. Rev. D. -2019. -99. -p.093001.

Данные MiniBooNE представлены в виде  $d^2\sigma/dTdcos\theta$  и  $d\sigma/dQ^2$  в области  $0 < Q^2 < 2$  ( $\text{ГэВ}/c$ )<sup>2</sup>

Результаты  $\chi^2$  фита по поиску  $M_A$ :

1D фит -  $M_A = 1.17 \pm 0.03$  ГэВ.

2D фит -  $M_A = 1.24 \pm 0.09$  ГэВ.

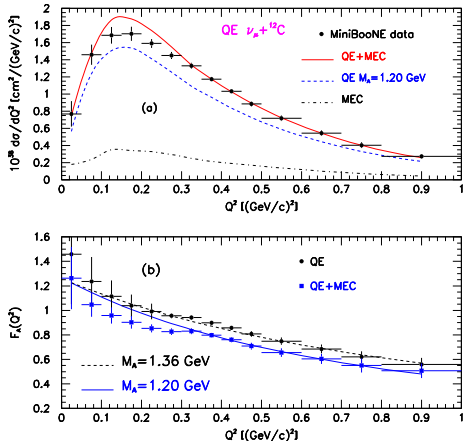
1D+2D фит -  $M_A = 1.20 \pm 0.06$  ГэВ.

Результаты в пределах ошибок согласуются со значением  $M_A = 1.15 \pm 0.03$  ГэВ, полученным в C. Wilkinson et al. PRD93, 072010 (2016)

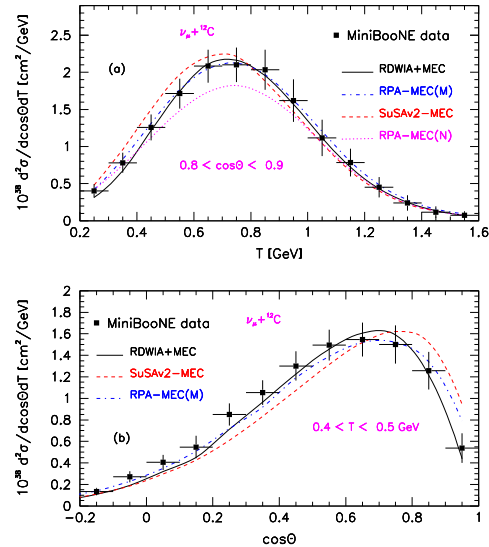
КУ сечение, интегрированное по потоку:

$$\left\langle \frac{d\sigma^{QE}}{dQ^2}(Q^2) \right\rangle = \langle \sigma^V(Q^2) \rangle^{QE} + F_A^2(Q^2) \langle \sigma^A(Q^2) \rangle^{QE} + h F_A(Q^2) \langle \sigma^{VA}(Q^2) \rangle^{QE}$$

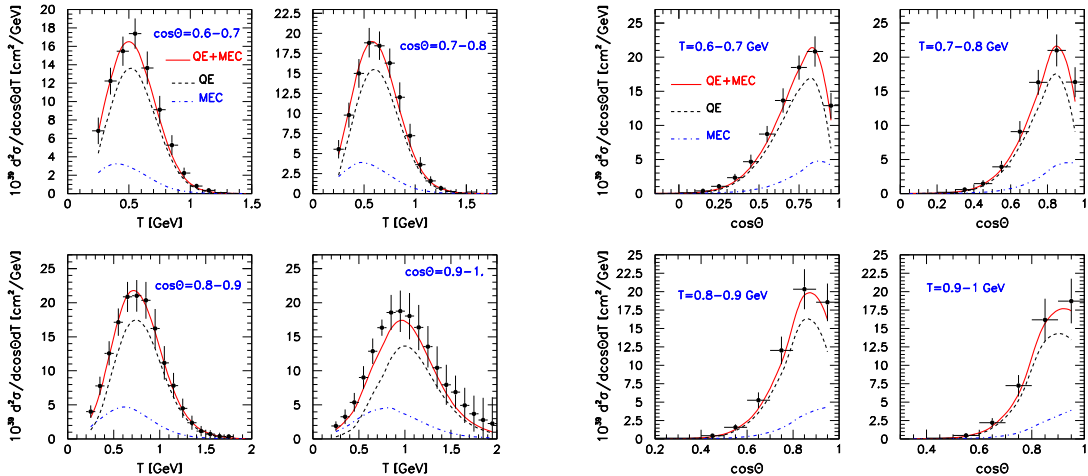
# Результаты RDWIA+МЕС модели с полученным значением $M_A = 1.20$



A. V. Butkevich, S. V. Luchuk. -Phys. Rev. D.  
-2019. -99. -p.093001.



# Результаты RDWIA+МЕС модели с полученным значением $M_A = 1.20$



# Оценка интегрированных по потоку нейтрино в эксперименте NOvA КУ + МЕС сечений на нейтронах веществ ближнего детектора.

Сечения вычисляются в рамках RDWIA+МЕС с аксиальной массой  $M_A = 1.2 \text{ ГэВ}$ .

Детекторы состоят в основном из углерода, хлора и водорода:  $^{12}\text{C}$  - 66.8%,  $^{35}\text{Cl}$  - 16.4%,  $^1\text{H}$  - 10.5%,  $^{48}\text{Ti}$  - 3.3%,  $^{16}\text{O}$  - 2.6%.

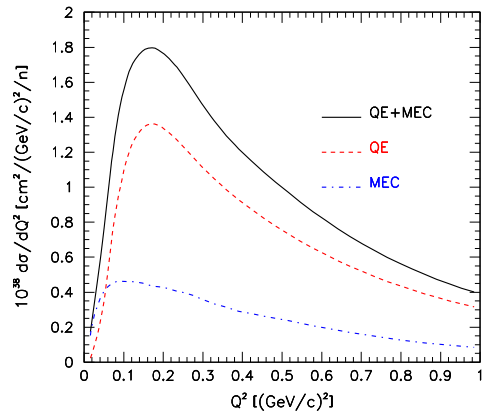
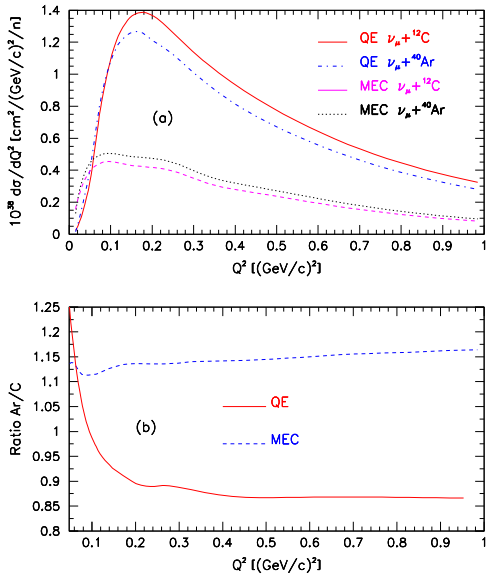
Ячейки детектора заполнены жидким сцинтиллятором ( $\text{CH}_2$ ), который составляет 63% от полного веса всего детектора.

Отличия между ядерной структурой  $^{40}\text{Ar}$  и  $^{35}\text{Cl}$  незначительные  $\Rightarrow$  для упрощения вычислений предполагается, что рассеяние происходит только на углероде и аргоне.

Сечение рассеяния на нейtron может быть выражено как  $\sigma_{MIX} = \alpha_C \sigma_C + \alpha_{Cl} \alpha_{Ar}$ , где  $\sigma_C(\sigma_{Ar})$  - сечения рассеяния нейтрино на нейtron в ядре  $^{12}\text{C}(^{40}\text{Ar})$ .

Систематические неопределенности сечения  $\sigma_{MIX}$ , обусловленные заменой хлора аргоном и пренебрежением рассеяния на других ядрах, помимо, углерода и аргона, составляют около 0.6%.

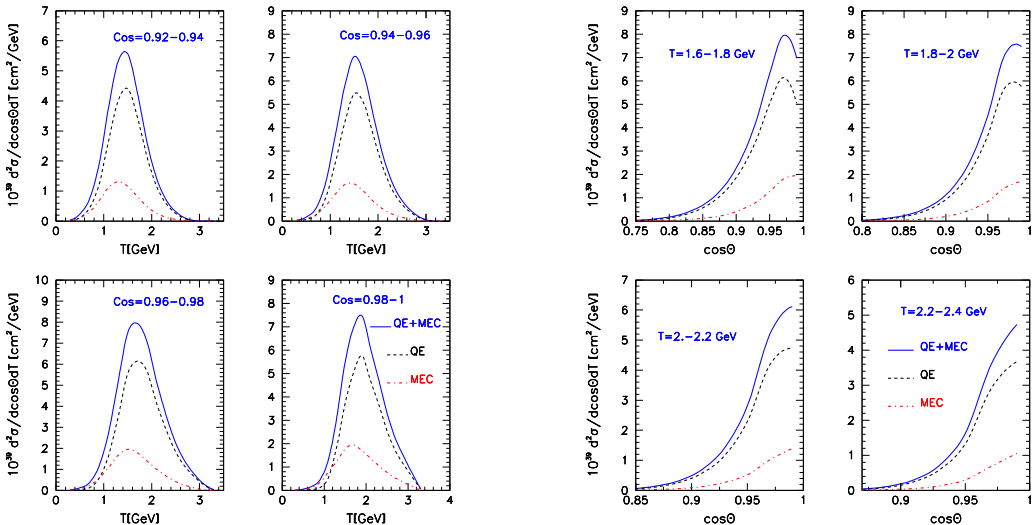
# Результаты RDWIA+МЕС модели при энергиях эксперимента NOvA



Сечение рассеяния на нейтрон для смеси  $\sigma_{MIX}$ .

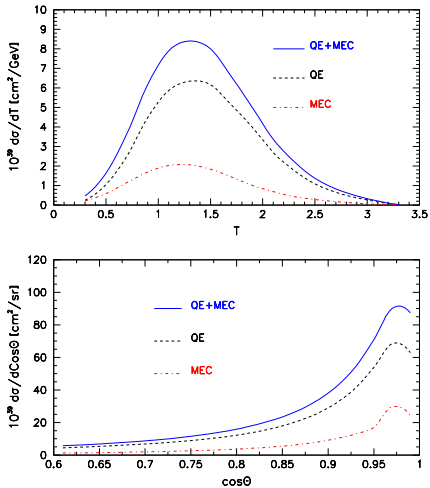
A. V. Butkevich, S. V. Luchuk. -Phys. Rev. D.- 2019.  
-99. -p.093001.

# Результаты RDWIA+МЕС модели при энергиях эксперимента NOvA

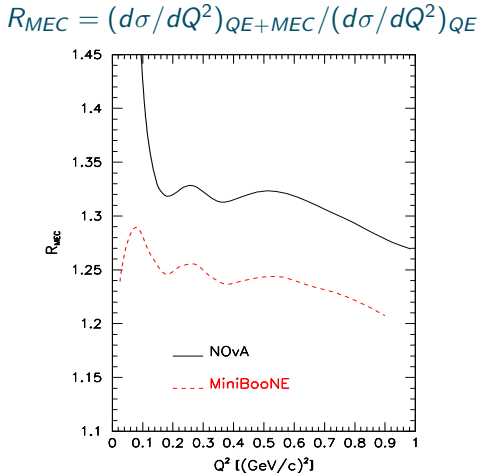


A. V. Butkevich, S. V. Luchuk. -Phys. Rev. D. -2019. -99. -p.093001.

# Результаты RDWIA+МЕС модели при энергиях эксперимента NOvA



A. V. Butkevich, S. V. Luchuk. -Phys. Rev. D.  
-2019. -99. -p.093001.



В эксперименте NOvA вклад 2p-2h МЕС  
процессов на 8% больше, чем в  
эксперименте MiniBooNE.

## Заключение

- 1) Для описания КУ-подобных сечений предложена объединенная модель RDWIA+МЕС искаженных волн в импульсном приближении и вкладов 2-х частичных токов, обусловленных рассеянием на обменных мезонах. Эта модель учитывает эффекты взаимодействий в конечном состоянии и NN-корреляции нуклонов на коротких расстояниях.
- 2) Модель RDWIA+МЕС успешно проверена в электромагнитных взаимодействиях. Для этого приведены результаты расчетов электромагнитных функций отклика и дифференциальных сечений рассеяния электронов на углероде, и их сравнение с экспериментальными данными в широкой кинематической области.
- 3) Проведен сравнительный анализ вычисленных квазиупругих и 2p-2h МЕС сечений рассеяния нейтрино на ядрах углерода в рамках совместной RDWIA+МЕС модели с аксиальной массой нуклона равной 1.03 ГэВ и модели RDWIA с  $M_A = 1.35$  ГэВ. Показано, что увеличение поперечной функции отклика или же аксиальной массы нуклона оказывает практически одинаковый эффект как на дифференциальные, так и на полные сечения в области КУ пика. В то же время, эти два подхода дают разный результат при рассмотрении дифференциальных сечений по переменной  $W$ .

## Заключение

- 4) В рамках RDWIA+MEC подхода получена зависимость аксиального форм-фактора  $F_A$  от  $Q^2$  и значение аксиальной массы нуклона  $M_A \approx 1.2 \text{ ГэВ}$  из данных эксперимента MiniBooNE. Определен вклад двух-частичных токов в КУ-подобные процессы, который в эксперименте MiniBooNE составляет около 25% в зависимости от кинематики.
- 5) В рамках RDWIA+MEC модели со значением аксиальной массы  $M_A = 1.2 \text{ ГэВ}$  оценены интегрированные по потоку дифференциальные КУ-подобные сечения рассеяния нейтрино на ближнем детекторе эксперимента NOvA.
- 6) Из анализа интегрированных по потоку дифференциальных КУ-подобных сечений рассеяния нейтрино по  $Q^2$  следует, что вклад 2p-2h MEC процессов при энергиях эксперимента NOvA составляет 30% - 35%, т. е. примерно на 8% больше, чем в эксперименте MiniBooNE.